

ECOLE

POLYTECHNIQUE

DE

THIES

genie mecanique

Gm. 0379

projet de fin d'etudes

École polytechnique
de THIES

titre:

etude d'un type
d'éolienne

auteur:

KARAMA kito

directeur de projet :

DINH VO NGOC

date : 10 JUIN 1982

Je dédie ce projet à tous ceux, qui de
près ou de loin, par leur éducation, leurs conseils
et leurs enseignements, m'ont guidé dans toutes mes
entreprises, plus particulièrement à mes parents.

REMERCIEMENTS

Je me permets de commencer la rédaction de ce modeste travail sans adresser mes plus sincères remerciements à tous ceux qui m'ont aidé sous quelque forme que ce soit, lors de sa réalisation.

Cette aide m'a été des plus précieuses et sans elle, je n'aurais jamais pu mener à bien ce travail ; tant le temps et les moyens disponibles étaient modestes.

Ainsi mon directeur de projet Mr DINH VO NGOC, qui m'a ménagé aucun effort malgré son horaire chargé, pour m'assister et me mettre constamment sur la bonne voie ; je le remercie très vivement.

Ces remerciements vont aussi aux techniciens ci-dessous : monsieur François HOUMAIRE pour la réalisation des divers modèles ; messieurs Marcel BLAIS et Sidi DIATA pour le prêt d'outillages.

sommaire

Le projet consiste en la réalisation et à l'étude au laboratoire d'un type d'éolienne, à rotors constitués de deux (2) demi-parallélépipèdes rectangles, réalisés en aluminium ordinaire, décalés par rapport à leur axe de symétrie et placés en aval d'un jet libre, afin d'en déterminer la performance, comparativement à celle d'une éolienne SAVONIUS, dans les mêmes proportions et ceci à l'aide de dispositif expérimental constitué, d'une soufflerie avec ses accessoires de mesures, de modèles réduits, d'un frein de PRONY pour déterminer le couple développé d'un rhoboscope et d'une balance analytique.

L'intérêt d'une telle étude réside dans le fait que ces modèles ne perturbent mieux à une technologie appropriée une prototype de par leur géométrie simple, contrairement au Savonius qui est constitué de rotors demi-cylindriques.

Bien que le montage dont nous disposons ne nous permette de mimuler les couches limites planaires atmosphérique, nous donne une idée sur ce que serait la performance d'un prototype réalisé à partir de ces modèles étudiés, quant à leur application dans les dispositifs d'exhaure ou comme force motrice ./.

liste des symboles

C_p	Coefficient de puissance
C_T	Coefficient du couple
ω (rad/s)	Vitesse de rotation du rotor
s (m)	Ecart central
T (N.m)	Couple sur le frein de Prony
V (m/s)	Vitesse du jet.
ρ (kg/m³)	Masse volumique dell'air
H (m)	Hautee du rotor.
D (m)	Diametre balayé par le rotor
λ	Rapport de vitesse
b (m)	Diametre de la conduite
T.P.M	Tours par minute
ΔP (m d'eau)	Pression dynamique
N	Vitesse de rotation en T.P.M du rotor
Re	Nombre de Reynolds
ν (m²/s)	Viscosité cinématique

table des matieres

	PAGES
Sommaire	ii
Liste des symboles	iii
Introduction	1
Chapitre I : - Analyse dimensionnelle	3
- Selection des parametres significatifs	5
Chapitre II : Conception et description du montage experimental	
2.1 La soufflerie	7
2.2 Modèle experimental	7
2.3 Instruments de mesures	8
Chapitre III : Etude	12
3.1 Analyse theorique preliminaire	13
3.2 Determination de la vitesse en amont de l'oleinne	14
3.3 Determination de la vitesse au niveau de l'oleinne	15
Chapitre IV : Analyse des resultats	18
Conclusion	20
Appendices	22

Caractéristiques des différents modèles	23
Tableaux de mesures	27
Tableaux de résultats et courbes	33
Références bibliographiques	45

introduction

Cette étude a été effectuée à l'aide d'un dispositif expérimental constitué :

- De plusieurs modèles réduits à rotors semi-parallélépipédiques et d'un Savonius.
- D'un frein de Prony pour la détermination du couple.
- D'un stroboscope et d'un tachymètre servant à mesurer la vitesse de rotation du rotor.
- D'une balance analytique de sensibilité $1/100^\circ$ permettant de déterminer le poids de la granule de zinc servant à équilibrer le frein.

Les mesures ont été effectuées à une température ambiante environ $27 \pm 5^\circ\text{C}$ et pour ce faire, nous avons une valeur moyenne de la masse volumique de l'air de 1.1614 kg/m^3 et une valeur de sa viscosité cinétique de $1.665 \cdot 10^{-5} \text{ m}^2/\text{s}$.

L'étude consiste à soumettre nos modèles à un jet d'air pulvérisé à 70 cm s'opposant à une conduite d'ouverture 30 cm, la prise de pression étant située à 36 cm de l'ouverture.

Nous étions obligés de travailler dans une gamme de vitesse comprise entre 10 et 20 m/s pour l'avant, afin d'obtenir des résultats significatifs.

des mesures ne sont déroulées sans un certain nombre de problèmes, à savoir l'amortissement de nos modèles

(problème rencontré pour le rotor *saponius*) et des vibrations qui perturbent les mesures délicates.

L'exploitation des résultats obtenus expérimentalement n'a pu se faire qu'à l'aide d'un certain nombre de paramètres adimensionnels, à partir desquels on a pu obtenir des grandeurs qui se prêtent à une comparaison.

chapitre I
analyse dimensionnelle

Tous les problèmes de dynamique de corps se ramènent à la détermination de certaines fonctions et valeurs numériques de grandeurs qui caractérisent le phénomène étudié

Malheureusement dans notre cas, il n'est pas possible de déduire des résultats à l'aide de simple raisonnement mathématique, du fait des difficultés insurmontables inhérentes à ce dernier.

Parfois, la complexité du phénomène mécanique, écarte toute possibilité de formulation mathématique.

Pour monter correctement une étude sur modèle réduit, et en tirer des conclusions qui s'imposent, permettant d'avoir une idée sur le comportement du prototype, il est indispensable d'étudier à fond la question en ayant recours à une analyse quantitative générale

Cela montre à quel point le choix des paramètres adimensionnés est important, ceux-ci doivent être en nombre plus petit que possible et qu'ils traduisent sous la forme la plus commode les effets principaux.

Les théories de la similitude et de la dimension permettent de faire cette analyse théorique préalable d'ordre qualitatif et de choisir un ensemble de paramètres de définition adimensionnés.

Pour ce faire trois (3) conditions doivent être remplies :

- La Similitude géométrique

Signifie l'existence d'une forme similaire entre le modèle et le prototype et que les dimensions linéaires de l'un à l'autre soient reliées par un facteur à échelle constante

- La Similitude cinématique

Dans le cas d'écoulement sur deux (ω) objets, géométriquement similaires, les champs d'écoulement doivent avoir la même forme et les rapports de vitesse et d'accélération correspondantes doivent être identiques, d'où une similitude géométrique des lignes de courant.

- La similitude dynamique

Elle est la conséquence des deux autres; car pour maintenir la similitude géométrique et cinématique, les forces agissant sur les masses de fluide correspondantes doivent être reliées entre elles par des rapports constants.

L'intérêt de l'analyse dimensionnelle, réside dans le fait qu'elle nous donne un maximum d'information à partir de très peu d'expériences → ce qui financièrement représente un avantage; et nous donne des renseignements sur le profil optimal, bien qu'il ait été

prouvé par de nombreux chercheurs qu'une similitude parfaite n'est difficile dans le cas des éoliennes.

SELECTION DES PARAMETRES SIGNIFICATIFS (cf [1])

Elle requiert de l'expérience et un minimum de connaissance du phénomène à analyser.

Il s'agit de faire la liste de tous les paramètres affectant le rendement de l'éolienne.

D'après des études faites préalablement par Mr VINH NGUYEN - DUY (ancien professeur) sur les éoliennes Savonius un certain nombre de paramètres avaient été déterminés qui pour notre étude sont aussi valables; il s'agit de :

$$1) - C_p = \frac{T_w}{\frac{1}{2} \rho H D V^3}$$

C_p est le coefficient de puissance, il est défini comme étant le rapport du couple disponible sur le rotor de notre éolienne sur celle fournie par le vent.

$$2) - C_T = \frac{T}{\frac{1}{2} \rho V^2 H D^2}$$

C_T est le coefficient du couple et définit le rapport du couple disponible sur notre éolienne sur celui fourni

par l'air.

$$3) - \lambda = \frac{D\omega}{2V}$$

λ est appellé le rapport de vitesse ; constitue le rapport de la vitesse circonférentielle de notre modèle sur celle du vent.

$$4) - \frac{s}{D}$$

Constitue le rapport de l'écart central sur le diamètre du moteur

$$5) - \frac{H}{D}$$

Constitue le rapport de la hauteur de notre moteur sur le diamètre balayé

$$6) - Re = \frac{vb}{v}$$

chapitre II
conception et description
du montage experimental

Trois parties sont à distinguer dans notre montage, la soufflerie qui va simuler le vent, le rotor Savonius étudié et enfin les divers appareils de mesures qui nous permettent de déterminer la performance de l'éolienne. (cf. fig page 2)

2.1 La soufflerie

Elle est constituée d'un ventilateur centrifuge aspirant l'air ambiant et le refoulant dans une conduite horizontale de diamètre ($\phi = 30\text{ cm}$), et de longueur 218 cm

2.2 Modèles expérimental (cf pages 23 à 26)

C'est une éolienne sur axe vertical, dont les rotors sont constitués de deux demi-parallélépipèdes rectangles, réalisés à partir de tôles d'aluminium prémaîtrées afin de réduire l'inertie du système, ou de deux demi-cylindres perticaux pour le rotor Savonius.

Nos modèles sont constitués de :

2.2.1 L'axe de rotation (cf figures pages 23, 24)

Il est réalisé en aluminium et n'aîte aux plaques supérieures et inférieures, sur lesquelles viennent se fixer les rotors.

Il porte deux (2) parties molletées à ses extrémités pour entraîner les bagues intérieures des roulements à billes qui servent de butées.

2.2.2 Le rotor

Constitué de deux(2) demi-parallélépipèdes rectangles en aluminium ordinaire; ils sont assemblés par deux plaques circulaires, de façon à donner un "Z" renversé lorsqu'on en fait une vue en plan.

Il subira un choc contre les demi-parallélépipèdes qui se chevauchent, le reste que le vent qui frappe la partie qui lui fait face passe par cette fente. Il viendra frapper l'autre moitié. L'air qui passe par cette fente devra intuitivement contribuer doublement à la rotation.

2.2.3 Le logement des roulements à billes (cf [2])

Constitué de blocs en plexiglass.

Ces blocs possèdent des épaulements et reposent par gravité dans des logements (tous) pratiqués sur le support de l'échelle place devant la soufflerie.

Après conception de notre modèle, celui-ci doit être équilibré statiquement et dynamiquement pour éviter des vibrations. Le premier équilibrage se réalise facilement, par une construction symétrique ; quant au second, il nécessite un équipement approprié dont nous ne disposons pas.

2.3 Instruments de mesures

2.3.1

Frein de Prony (cf [2])

Mauvaise précision du fait que le coefficient de frottement n'est pas constant à grand serrage où instabilité du bras.
Le tambour de frottement est en acier ordinaire, ce qui entraîne moins d'échauffement et donc pas de gavage du teflon constituant le sabot de notre frein.

La plupart des accessoires sont réalisés en aluminium ordinaire, afin de rendre le frein le plus léger possible; il est constitué d'un cylindre creux en aluminium, percé sur la surface latérale de quatre trous par où passent les tampons de teflon, qui sont fixés par un anneau montré fermé en cuivre, concentrique au cylindre.

On peut diminuer ou augmenter le diamètre de cet anneau en faisant tourner dans un sens ou dans l'autre un bouton muni de filets et qui relie les deux extrémités de l'anneau ouvert; ceci va pour effet d'enfoncer plus ou moins les blocs de teflon dans les trous du cylindre, augmentant ainsi son serrage sur le tambour de frottement mobile à l'axe de rotation.

Sur le cylindre creux est fixée une tige horizontale de 30 cm de longueur, qui passe entre les branches d'un "U", et portant à son extrémité une ficelle, passant par une poulie fixée sur le support de notre modèle et dont la gorge est perpendiculaire au bras du frein;

les masses devant être équilibrées sur le bras (tige) sont déposées dans une coupelle en plastique, attachée à l'extrémité libre de la ficelle.

2.3.2 Balance analytique.

Étant donné que les couples disponibles sur le modèle sont faibles, il nous a fallu pour cela un dispositif très précis de pesée et nécessaire.

Une balance de type SARTORIUS 2472, a été utilisée dont la gamme d'utilisation passe de 0 à 300 grammes, avec une précision de $1/100^{\circ}$ de gramme.

2.3.3 Stroboscope et tachymètre

A chaque niveau de serrage du frein de Prony, la vitesse de rotation du rotor (en T.P.M), doit être connue, pour ce faire on utilise un stroboscope ; vu que si la fréquence du rotor est $1/m$ fois la fréquence du stroboscope, l'image du rotor est aussi stabilisée, raison pour laquelle on utilise un tachymètre qui nous donne l'ordre de grandeur de la vitesse.

2.3.4 Tube de Pitot

Pour la détermination de la vitesse moyenne du vent, on utilise un tube de Pitot relié à un manomètre diffé-

rentiel, qui nous donne la différence entre la pression totale et celle statique permettant de calculer la vitesse par l'équation :

$$V = \sqrt{\frac{2 \Delta P}{\rho}}$$

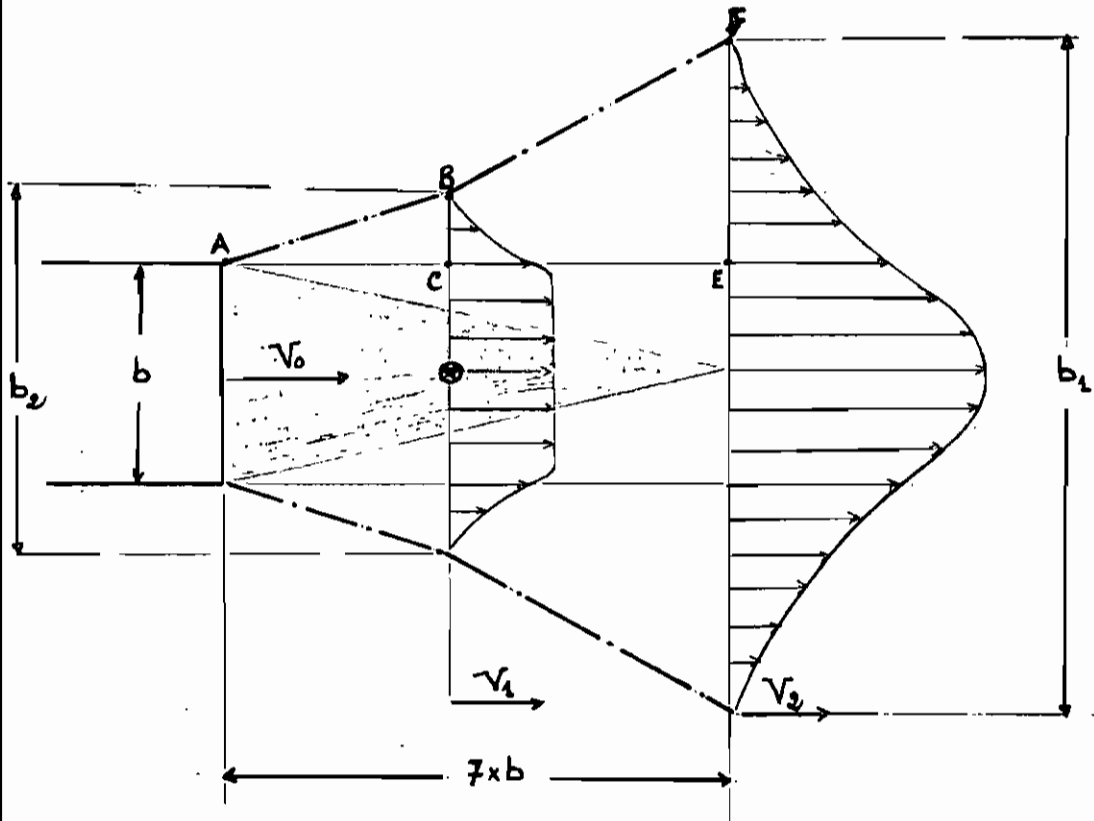
Il faut s'assurer que la partie horizontale du tube de Pitot est tournée dans la direction de l'écoulement; l'influence de la turbulence sur la mesure de la pression dynamique peut être supposée négligeable.

L'inconvénient majeur de cet instrument réside dans le fait qu'il ne donne la vitesse qu'en un seul point, or c'est la vitesse moyenne qui nous intéresse, ce qui fait qu'on sera amené à la déterminer à partir d'une mesure ponctuelle.

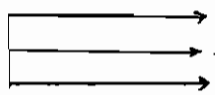
2.3.5 Schéma d'ensemble du montage expérimental

(Voir figure page 22)

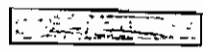
Notre tube de Pitot est placé à 36 cm de notre conduite de sortie d'air de 30 cm de diamètre, tandis que le rotor est à 70 cm de la sortie d'air et au centre du jet.



Contour de l'écoulement



Profil de vitesse



Noyau potentiel



Localisation du rotor

figure 1 Présentation du profil de vitesse à la
sortie, du jet d'air

3.1

Analyse théorique préliminaire

En assumant que l'écoulement à l'extérieur de la conduite s'assimile à celui d'un jet libre dont le diamètre de l'ouverture $b = 30\text{ cm}$, dans le cas d'un écoulement turbulent et regard à la gamme de vitesse dans laquelle nous opérons, la longueur du moyen potentiel sera :

$$- 7b \quad (21\text{ m}) \quad (\text{cf [3]})$$

Le moyen potentiel constitue une zone dans laquelle la vitesse d'écoulement est constante et égale à la vitesse à la sortie de notre conduite; il est délimité par un volume conique dont la section de base est égale à b et la hauteur à $7b$.

Ce faisant on peut que notre colonne sera dans la zone du moyen potentiel.

3.2 - Determination de la vitesse en amont de l'éolienne

Dans notre étude nous supposons d'abord que notre conduite est prolongée jusqu'à E à partir de A , ce faisant notre modèle se trouve être dans une conduite fictive de section égale à b (30cm); Or que notre écoulement est turbulent ($Re > 8100$) et que notre éolienne se trouve sur la ligne passant par C et B , on aura que la vitesse moyenne (V_a) en amont de l'éolienne pourra se déduire de l'équation de Prandtl - Karman (pour un écoulement turbulent uni-dimensionnel) (cf [3]) qui est supposée valable aussi pour notre hypothèse de profil symétrique, ce qui donne :

$$\frac{V}{V_0} = \frac{1}{1 + 4.07 \sqrt{f/8}} = \alpha \quad (1)$$

avec $\sqrt{f} = 1.14 + 2 \log \frac{b}{e}$

f : facteur de friction.

e : diamètre du grain de sable équivalent à la rugosité de la conduite.

Nous savons que e varie de .012 cm à .026 cm pour la toile (cf [3])

d'où $.65 \leq \alpha \leq .66$

En notant que lorsque l'éolienne tourne, la surface projetée des demi-cylindres (pour le rotor Savonius) et des demi-parallélépipèdes se trouvent dans un plan perpendiculaire à l'écoulement, deux (2) positions extrêmes correspondant au maximum et au minimum de surface projetée seront à considérer (Voir fig 2 et 3), obtenues lorsque le grand diamètre (D) respectivement le petit diamètre (D_1) sont dans un plan parallèle à une section droite de la conduite.

La vitesse moyenne du vent au niveau de l'éolienne ne déterminera pas l'équation de continuité et en admettant qu'il y ait écoulement d'air par l'écart centrale s , du fait de la dépression qui se crée en aval du rotor.

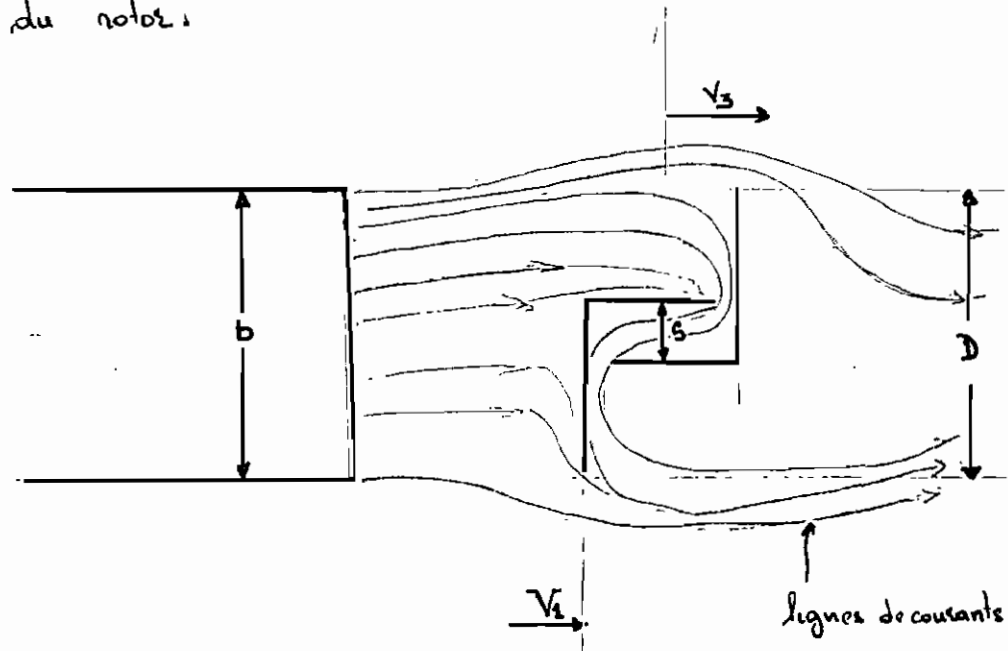


Figure 2

Position extrême A

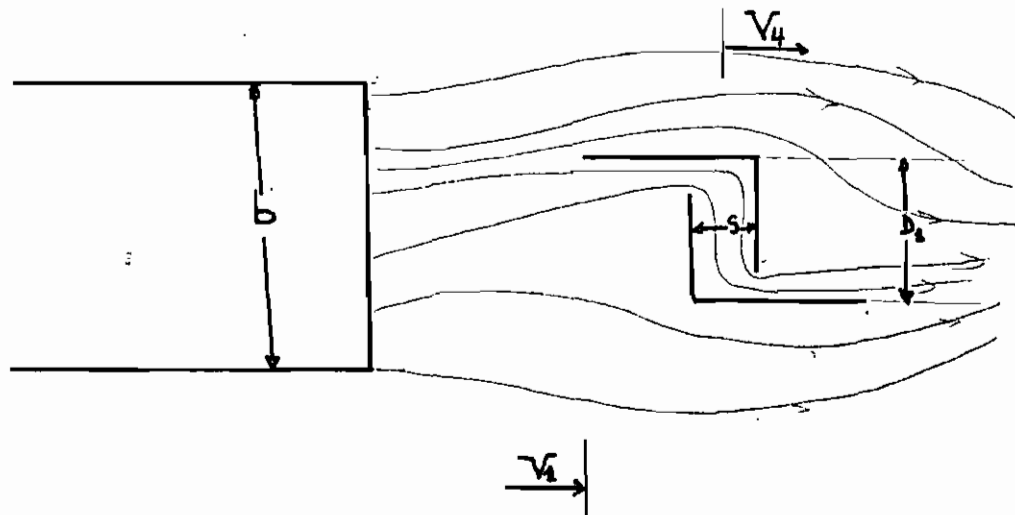


Figure 3 Position extrême 2

L'équation de continuité appliquée entre un point situé en amont de l'obstruction et un autre à non niveau pour les position extrême 1 et 2 permet d'écrire :

$$V_1 A_1 = V_2 (A_2 - HD + HS) = V_2 (A_1 - HD + HS)$$

$$\text{avec } A_1 = \frac{\pi}{4} (b)^2$$

$$\text{donc } V_2 = \frac{A_1}{[A_1 - H(D-S)]} V_1$$

$$V_2 = \frac{A_1}{[A_1 - H(D_2 - S)]} V_1$$

La vitesse au niveau de l'éolienne sera prise égale à la moyenne des vitesses prises au niveau de l'éolienne pour les deux positions extrême :

$$(2) \quad V = \frac{\sqrt{V_3} + \sqrt{V_4}}{2} = V_1 \times \frac{A_1}{2} \times \left[\frac{1}{[A_1 - H(D-S)]} + \frac{1}{[A_1 - H(D+S)]} \right]$$

$$\text{En posant } \beta = \frac{1}{2} A_1 \times \left[\frac{1}{A_1 - H(D-S)} + \frac{1}{A_1 - H(D+S)} \right]$$

Avec les modèles dont nous disposons, nous devons :

$$1.2 \leq \beta \leq 1.3$$

et en prenant $\beta = 1.2$ et $\alpha = .65$,

on aura vu que $V = \alpha \beta V_0$ d'après (1) et (2)

$$\alpha \beta \approx .8$$

Mais en réalité, du fait de la rotation de notre éolienne, nous avons une déformation des lignes de courant comme indiquée sur la figure 2 et 3 donc à tout point de vu notre section découlante est plus grande que b (30 cm)

chapitre IV

analyse

des

resultats

→ NUMERO DU MODELE	1	2	3	3'	4	5
λ	.4	.24	.54	.75	.868	.714
$C_p \max$.0725	.051	.132	.14	.231	.22
$C_t \max$.076	.1015	.118	.128	.129	.15
S/D	.086	.0827	.0686	.0686	.0882	.0502
H/D	.981	1.085	1.339	1.339	.974	1.083

Le tableau ci-dessus résume la localisation des optimums pour les différents modèles.

On constate pour les trois (3) premiers modèles (parce que perméabilités plus larges configuration) que le plus performant est le n°3. $C_p \max$ et $C_t \max$ ont les valeurs les plus grandes. Et en raisonnant sur la base de S/D (ou H/D), on constate que le plus performant des trois est celui pour lequel S/D est plus petit (ou H/D plus grand).

Mais finalement dans un tel modèle, perte dans le fait qu'il ne s'amorce pas de lui-même ; pour palier à un tel problème, nous avons ajouté des éléments de greffage sur les surfaces latérales délimitées par b et H (cf dessin page 25) ; mais cela n'a pas pu résoudre le problème ; par contre la performance l'en est trouvée améliorée (modèle n°3') ; $C_p \text{ max}$ a augmenté de 6% et $C_T \text{ max}$ de 8% ; cette augmentation bien que faible est significative, parce que delicate d'interprétation.

Mais comparées au Savonius (modèle n°4) la valeur de $C_p \text{ max}$ est inférieure d'environ 39%, ce qui est très important ; quant à l'écart sur $C_T \text{ max}$ il est insignifiant par rapport à celui sur $C_p \text{ max}$.

Afin de remédier à tel écart, des modifications ont été apportées aux rotors de nos modèles étudiés, (cf dessin page 25) ce qui nous donne le modèle n°5, qui fait la valeur de $C_p \text{ max}$ est comparable au Savonius, en effet elle est de 5% plus faible pour la valeur de $C_p \text{ max}$ et de 16% plus élevée pour celle de $C_T \text{ max}$.

- conclusion -

Les résultats obtenus avec notre modèle n°5, nous poussant à l'optimisme.

Mais cet optimisme n'est pas sans contraintes, en effet, hormis ses bonnes performances ($C_p \max = .22$, $C_T \max = .15$), comparables à celles de notre modèle Savonius ($C_p \max = .231$, $C_T \max = .129$), présente un problème pour son amerrage. Ce problème une fois résolu ferait que le modèle, aurait une solution plurielle.

Des solutions au cours du déroulement des études en laboratoire ont été esquissées, parmi celles-ci figurent, l'adjonction d'éléments de greffages ou des modifications au niveau du rotor faisant un dispositif à portes battantes; la dernière n'a pu être réalisée entièrement car nécessitant des améliorations et qui n'ont pu être effectuées en égard à des contraintes de temps.

Une autre solution possible à ce problème, consiste à disposer sur la plaque circulaire supérieure de notre modèle d'empennages placés à 120° l'un de l'autre et qui permettraient l'amerrage du système et par la route. Nécessitant deux inconvénients à constituer des éléments de freinage enlevé par un autre dispositif lors de la marche.

Une fois ces modifications mises à bien, on pourrait prétendre à leur réalisation en paule.

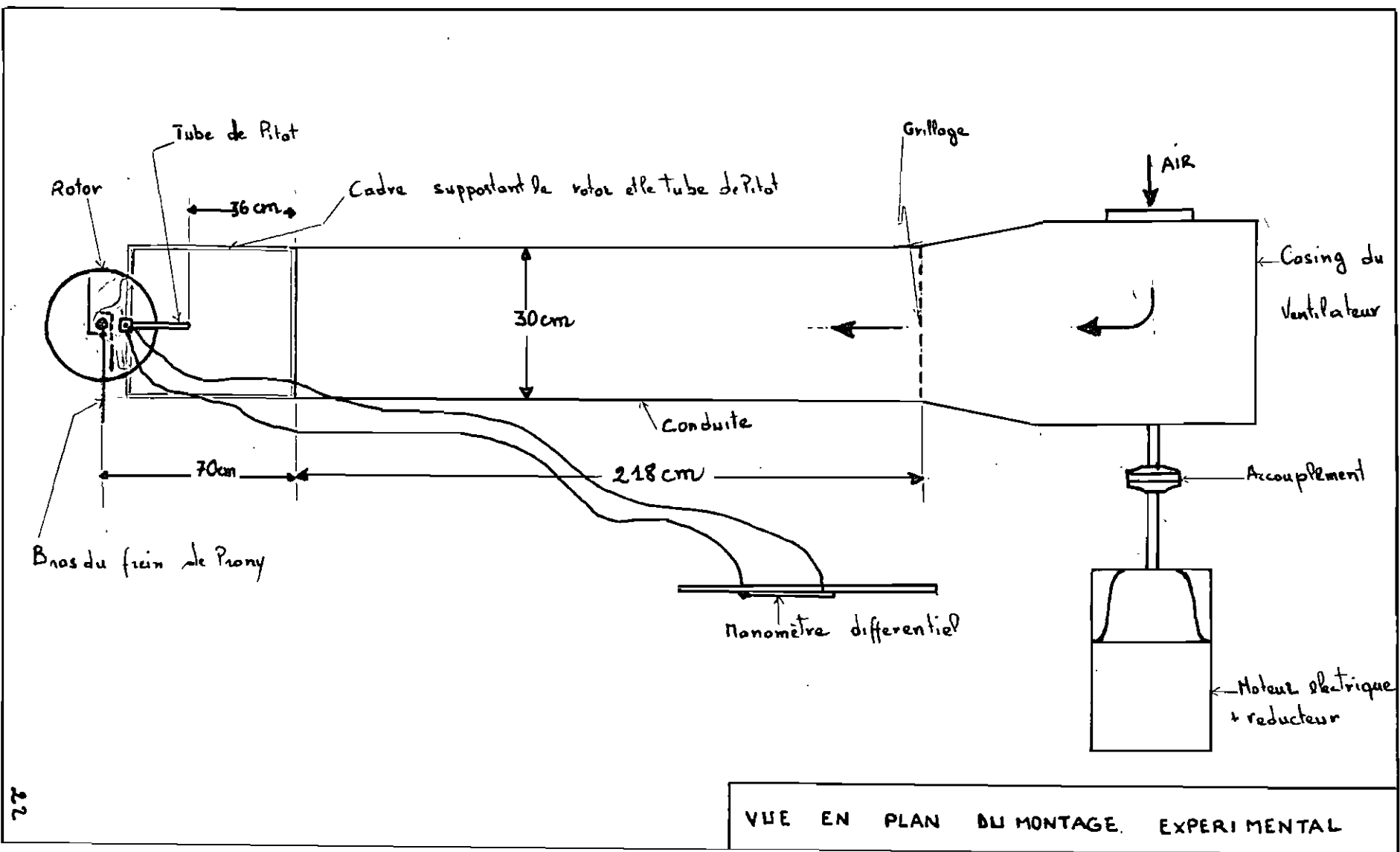
tressée . ou en plaquettes de bois , tout en prenant soins
à contourner les problèmes qui seraient induits par
l'utilisation de tels matériaux , à savoir le fourrissage ,
l'attaque par des termites etc... .

Sur place



appendices

CARACTERISTIQUES
DES
DIFFERENTS MODELES



1
2
3
4
5

7.125 mm 9.5 mm

8.2 mm

12.35 mm

19.05 mm

68.95 mm

51.3 mm

8.6 mm

5.5 mm

A

A

H

16.4 mm 14.05 mm

50.3 mm

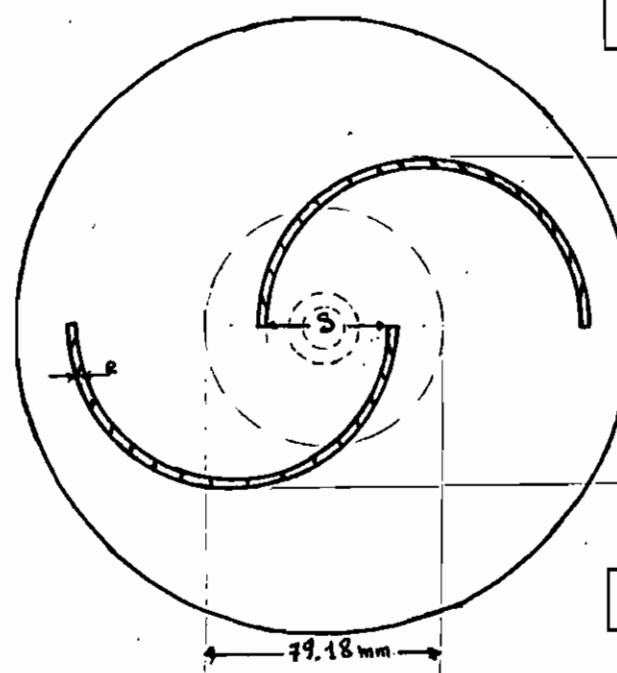
18.50 mm

33.6 mm

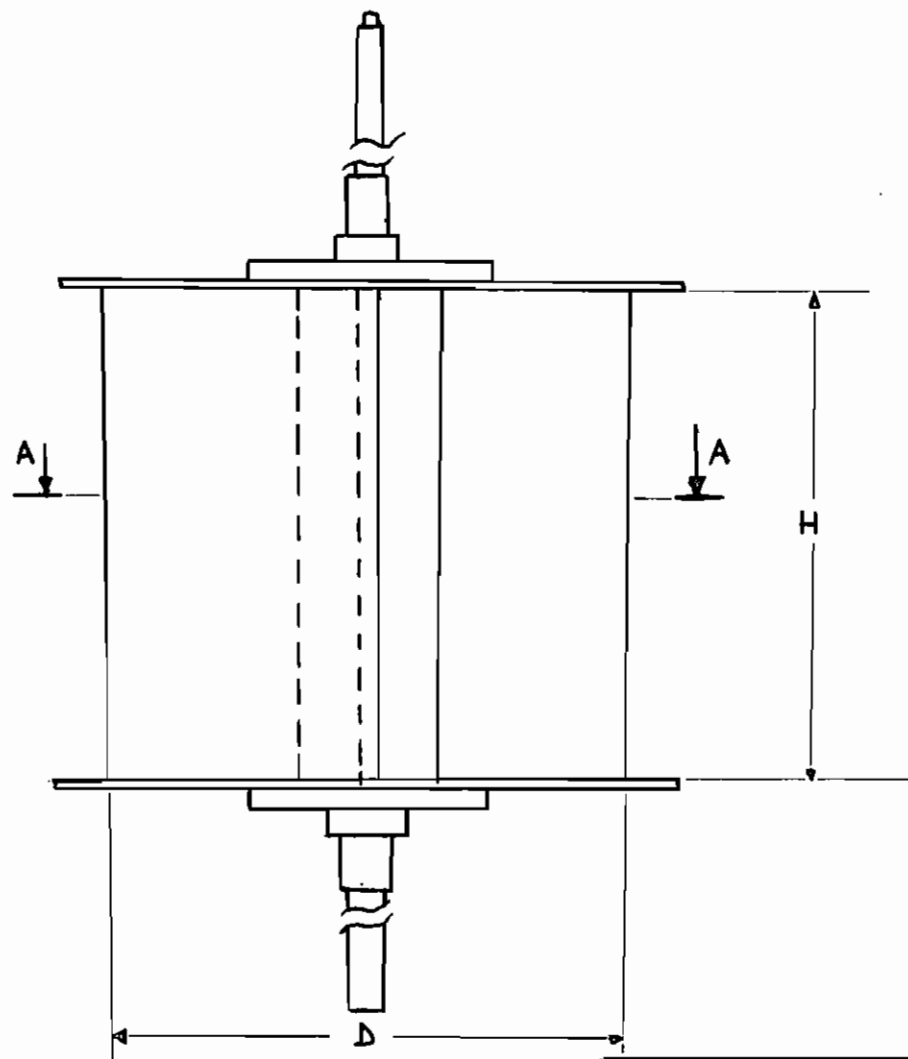
12.75 mm

D

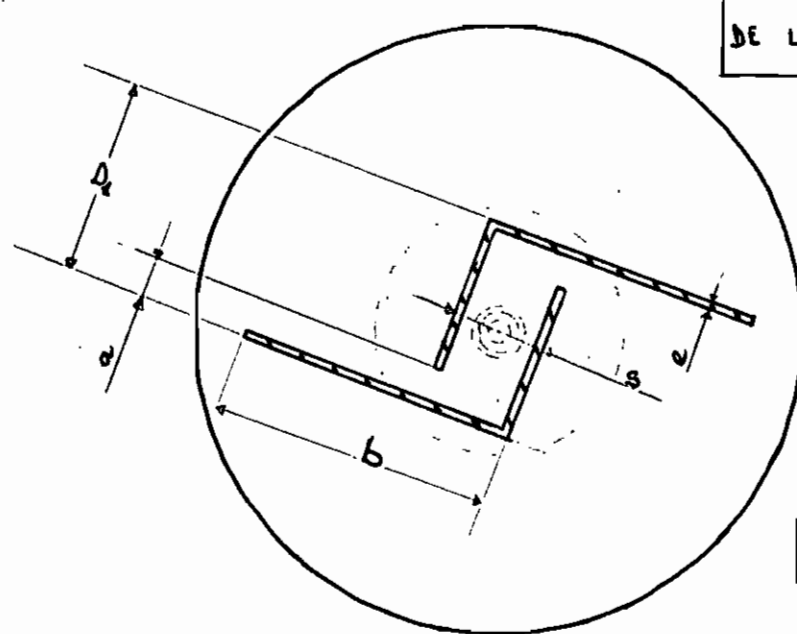
VUE DU ROTOR SAVONNIUS
SUivant L'AXE DE LA
CONDUITE (N°4)



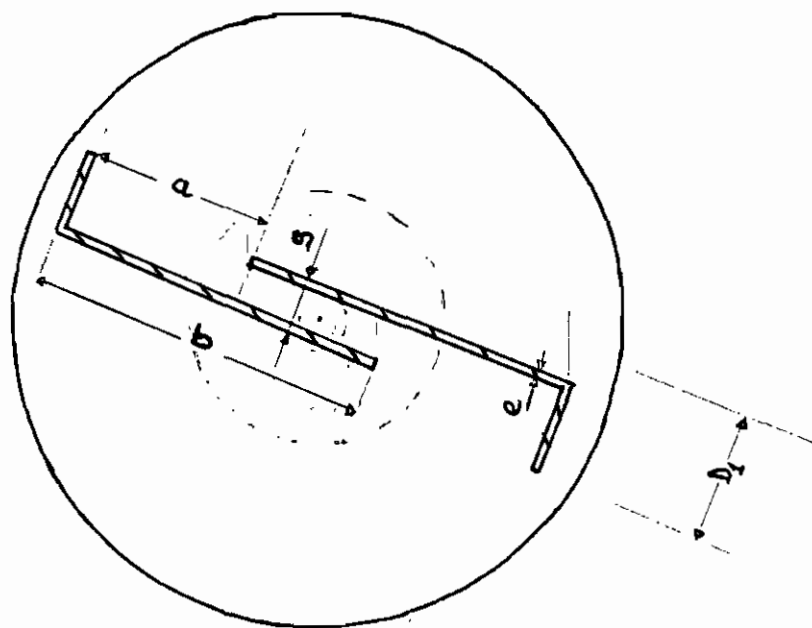
COUPE A-A (N°4)



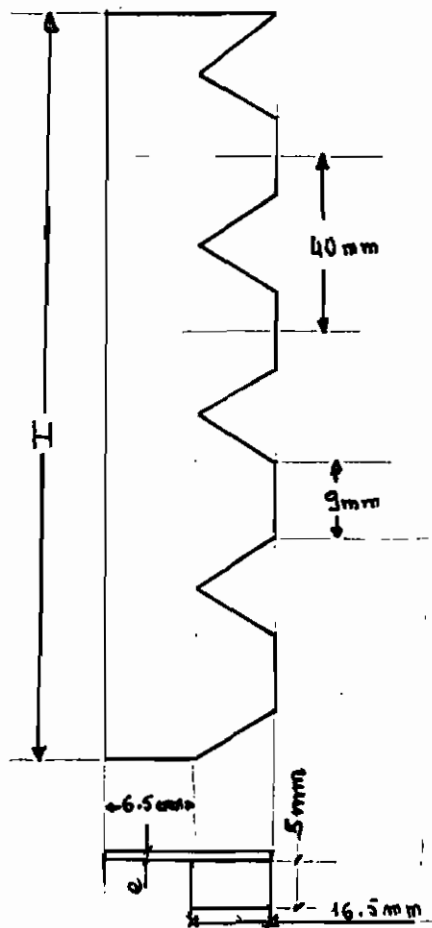
VUE DU ROTOR
DU MODÈLE SUIVANT L'AXE
DE LA CONDUITE (N°1 à N°3)



COUPE A-A (N°1 à N°3)



COUPE A.A (N°5)



ELEMENT DE GREFFAGE

VALEURS DES PARAMETRES POUR LES DIFFERENTS MODELES

NUMERO DU MODELE →	1	2	3	4	5
a	16.50	33.05	46.90	-	40.5 58.50
b	73.40	70.65	58.35	-	71.48
s	12.30	10.85	7.25	12.75	6.55
d	143.07	131.15	105.75	144.50	130.42
D ₁	33.40	74.45	108.25	40.80	74.69
H	140.35	142.30	141.60	140.70	141.25

NB : Ces valeurs
sont en mm

TABLEAUX
DE
MESURES

MOELE N°1

ΔP (inch d'eau)	N (t/cm)	Masse (en gramme)
	800	3.3073
	760	4.3349
	730	4.5464
	700	5.2172
	600	5.5718
.54	565	6.4117
	505	6.9183
	480	7.3334
	465	7.6660
	435	8.0615
	370	8.2503

MODELE N°2

ΔP (inch eau)	N (tpm)	Masse (en gramme)
	580	0
	565	2.456
	540	3.0659
	525	3.6685
• 54	495	4.2021
	485	4.6645
	450	5.4952
	420	5.6711
	365	6.0546
	360	6.4143
	325	6.8078

MODÈLE N°3

ΔP (inch raw)	N (1 ppm)	Masse (in gramme)
• S4	1520	0
	1460	2.4709
	1300	3.0659
	1180	3.9830
	1060	4.4425
	1020	4.6094
	910	4.9852
	810	5.2119
	760	5.6210
	720	5.6736
	580	5.9004
	500	6.2897
	455	6.5400
	430	6.9626
	335	7.4887

وَمِنْهُمْ مَنْ يَرْجُوا
أَنْ يُنْهَا إِلَيْهِمْ
النَّارُ فَلَا يُنْهَا
إِلَيْهِمْ وَلَا هُمْ
يُنْهَا إِلَيْهِمْ

MOBÉLÉ N°4

ΔP (inch d'eau)	N (P. II)	Masse (en grammes)
	1640	0
	1500	3.1290
	1370	4.5570
	1360	4.5818
• 37	1320	4.8104
	1220	5.3990
	1150	6.1809
	1060	6.3182
	1020	6.8565
	960	7.4404
	810	7.6892

MOBILE N°5

ΔP (inch eau)	N (T.P.M)	Masse (en grammes)
	1900	0
	1780	3.2393
	1700	3.6926
	1620	4.5806
• 49	1500	5.3043
	1420	6.2602
	1300	7.2561
	1200	8.3710
	1100	8.4786
	900	9.0783
	—	—

MODELE N°3 MODIFIE

ΔP (Inch d'eau)	N (T.Pm)	Masse (en grammes)
	1640	0
	1480	2.7322
	1400	3.2537
	1320	3.6771
.54	1220	4.1811
	1140	4.8840
	1020	5.2469
	780	5.4720
	740	5.7711
	530	5.9956
	385	6.5422

TABLEAUX DE RESULTATS
ET
COURBES

MODELE N°1

VITESSE DU VENT : 12.1776 m/s
NOMBRE DE REYNOLDS DANS LA CONDUITE "VITRÉE" : 2.493710⁵

C_T	C_P	λ
$5.9457 \cdot 10^{-2}$	$5.8520 \cdot 10^{-2}$.4921
$7.1681 \cdot 10^{-2}$	$6.7024 \cdot 10^{-2}$.4675
$7.4197 \cdot 10^{-2}$	$6.6638 \cdot 10^{-2}$.4491
$8.2177 \cdot 10^{-2}$	$7.0772 \cdot 10^{-2}$.4306
$8.6395 \cdot 10^{-2}$	$7.3776 \cdot 10^{-2}$.3691
$9.6387 \cdot 10^{-2}$	$6.7001 \cdot 10^{-2}$.3476
0.1024	$6.3630 \cdot 10^{-2}$.3107
0.1074	$6.3396 \cdot 10^{-2}$.2953
0.1113	$6.3679 \cdot 10^{-2}$.2860
0.1160	$6.2087 \cdot 10^{-2}$.2676
0.1183	$5.3853 \cdot 10^{-2}$.2276

MODELE N°2

VITESSE DU VENT : 12.1776 m/s
NOMBRE DE REYNOLDS DANS LA CONDUITE "FICTIVE" : 2.493710⁵

54

C_T	C_P	λ
$2.3607 \cdot 10^{-2}$	$1.5442 \cdot 10^{-2}$.3271
$5.7900 \cdot 10^{-2}$	$3.6894 \cdot 10^{-2}$.3186
$6.6415 \cdot 10^{-2}$	$4.0448 \cdot 10^{-2}$.3045
$7.4829 \cdot 10^{-2}$	$4.4306 \cdot 10^{-2}$.2960
$8.2280 \cdot 10^{-2}$	$4.5934 \cdot 10^{-2}$.2791
$8.8736 \cdot 10^{-2}$	$4.8538 \cdot 10^{-2}$.2735
.1003	$5.0921 \cdot 10^{-2}$.2538
.1028	$4.8690 \cdot 10^{-2}$.2368
.1081	$4.4518 \cdot 10^{-2}$.2058
.1132	$4.5948 \cdot 10^{-2}$.2030
.1187	$4.3494 \cdot 10^{-2}$.1833

MODÈLE N°5

VITESSE DU VENT : 12.1776 m/s 35

NOMBRE DE REYNOLDS DANS LA CONDUITE "FICTIVE" : $2.4937 \cdot 10^5$

C_T	C_P	λ
$3.6489 \cdot 10^{-2}$	$5.0437 \cdot 10^{-2}$.6911
$8.9815 \cdot 10^{-2}$.1192	.6638
.1027	.1214	.5911
.1224	.1314	.5365
.1324	.1276	.4820
.1360	.1261	.4638
.1441	.1192	.4138
.1490	.1097	.3683
.1578	.1091	.3456
.1589	.1041	.3274
.1638	$8.6411 \cdot 10^{-2}$.2637
.1722	$7.8313 \cdot 10^{-2}$.2273
.1776	$7.3500 \cdot 10^{-2}$.2069
.1868	$7.3028 \cdot 10^{-2}$.1955
.1981	$6.0353 \cdot 10^{-2}$.1523
—	—	—

MODELE N°4

36
VITESSE DU VENT : 10.0801m/s

NOMBRE DE REYNOLDS DANS LA CONDUITE FICTIVE : 2.064210⁵

C_T	C_P	λ
.0287	.0707	1.231
.0818	.1843	1.1254
.1061	.2181	1.0283
.1065	.2174	1.0208
.1104	.2187	.9908
.1204	.2204	.9156
.1336	.2307	.8632
.1360	.2164	.7956
.1451	.2222	.7656
.1550	.2234	.7206
.1592	.1936	.6080

MODELE N°5

VITESSE DU VENT : 11.6000 m/s³⁷

NOMBRE DE REYNOLDS DANS LA CONDUITE "FICTIVE" : 2.375440⁵

C_T	C_P	λ
.0265	.0593	.1185
.0773	.1620	.0479
.0844	.1689	.0008
.0983	.1875	.9537
.1159	.2047	.8830
.1246	.2084	.8359
.1402	.2147	.7653
.1577	.2228	.7064
.1594	.2065	.6475
.1688	.1789	.5298
—	—	—

MODÈLE N°3 MODIFIÉ

VITESSE DU VENT : 12.1376 m/s ³⁸

NOMBRE DE REYNOLDS DANS LA CONDUITE "FICTION" : $2.4937 \cdot 10^5$

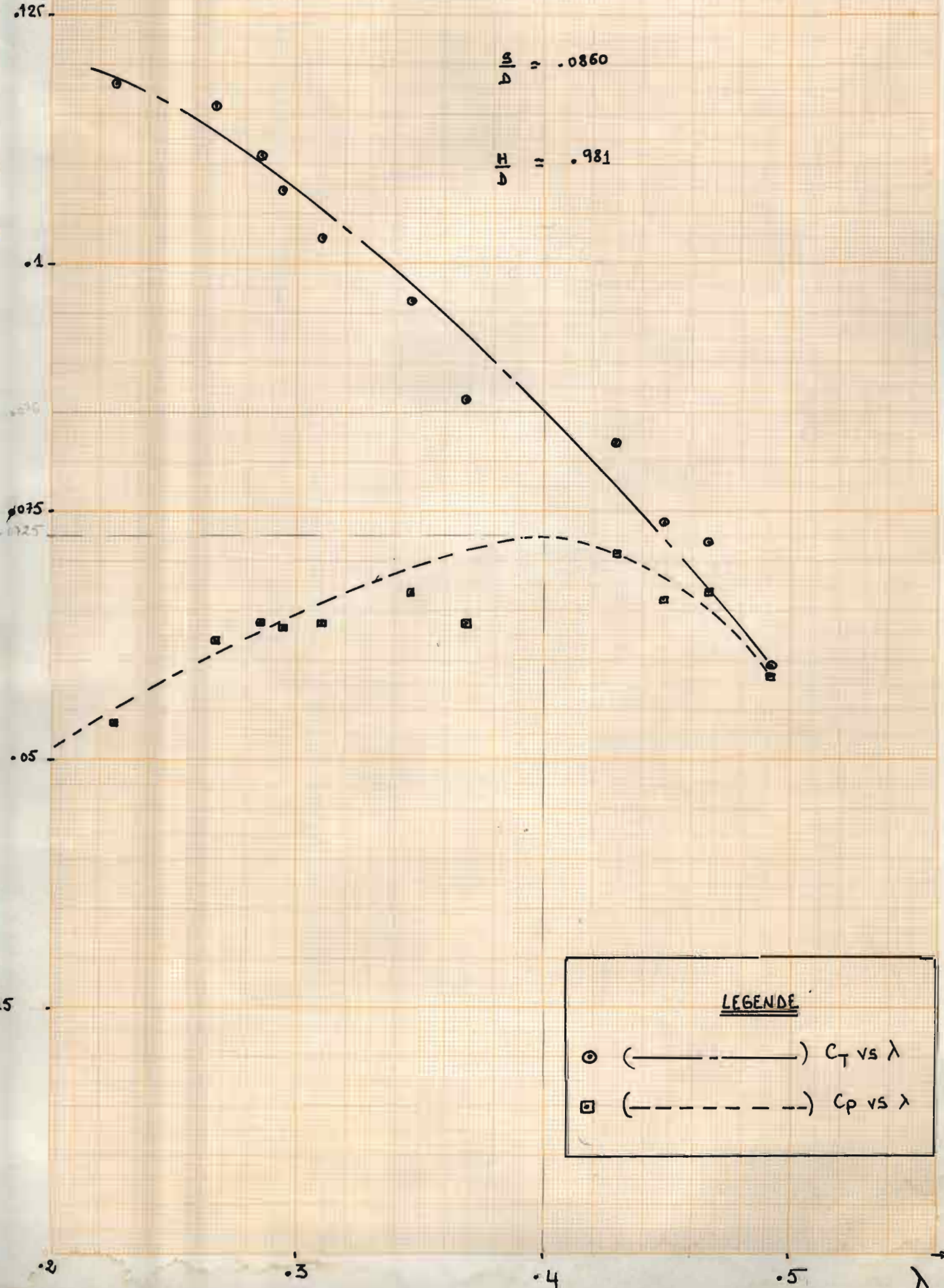
C_T	C_P	λ
.0365	.0544	.0189
.0955	.1285	.9195
.1067	.1358	.8698
.1158	.1391	.8201
.1267	.1406	.7580
.1419	.1471	.7083
.1493	.1389	.6337
.1546	.1097	.4846
.1610	.1084	.4598
.1659	.0800	.2410
.1777	.0622	.1751

COURBES DE $C_T \& C_P$ VS λ

MODELE N°1

$$\frac{S}{D} = .0860$$

$$\frac{H}{D} = .981$$



COURBES DE $C_T \& C_P$ VS λ

MODELE N° 2

.125-

$$\frac{S}{D} = .0827$$

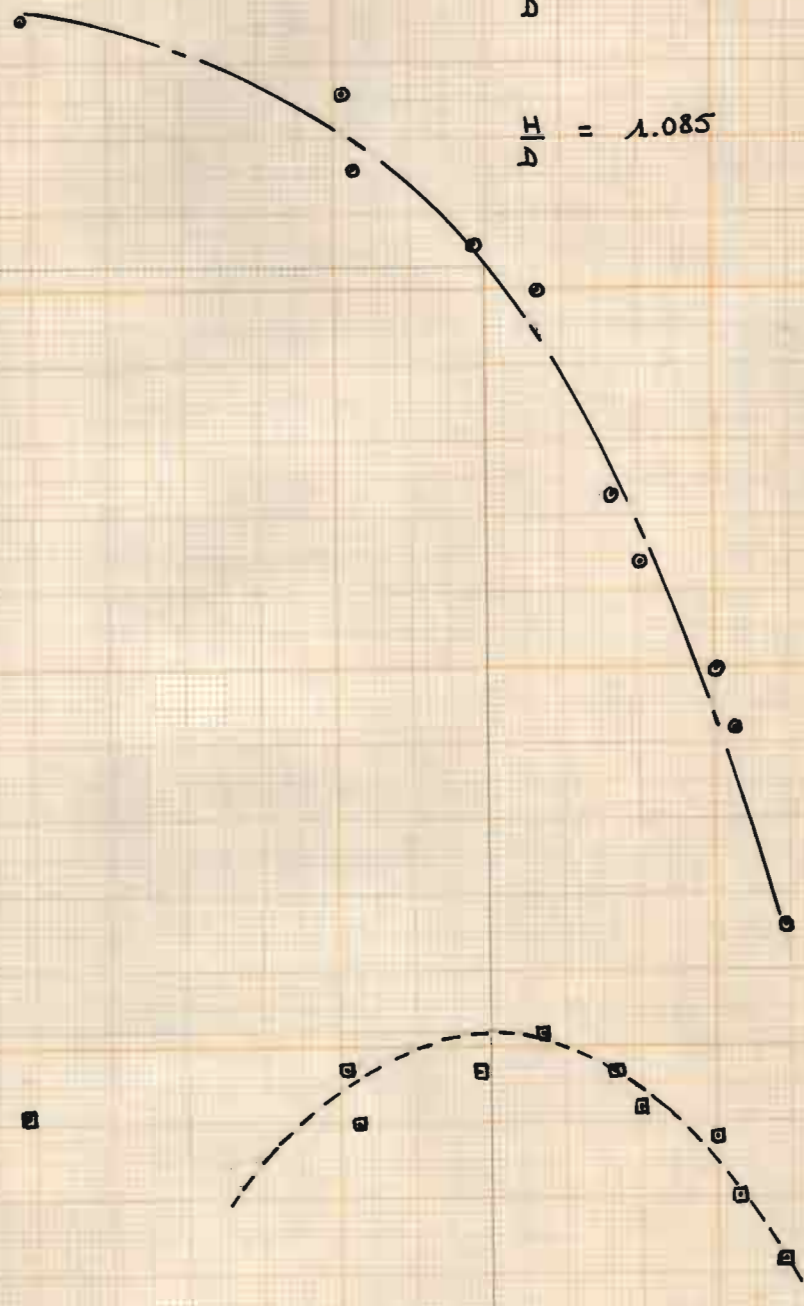
$$\frac{H}{D} = 1.085$$

.1-

.075-

.05-

.025-



1

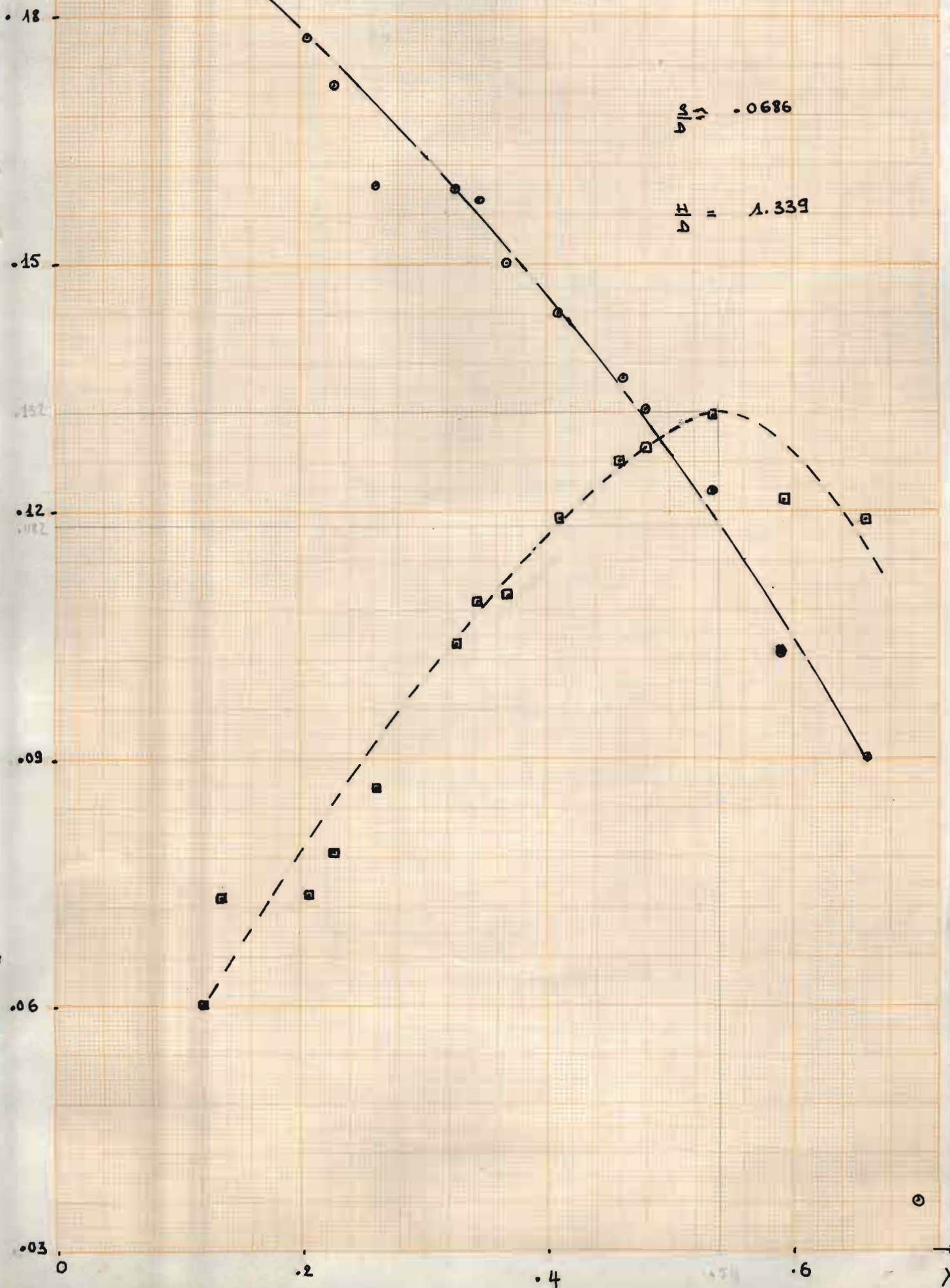
.2

.3

λ

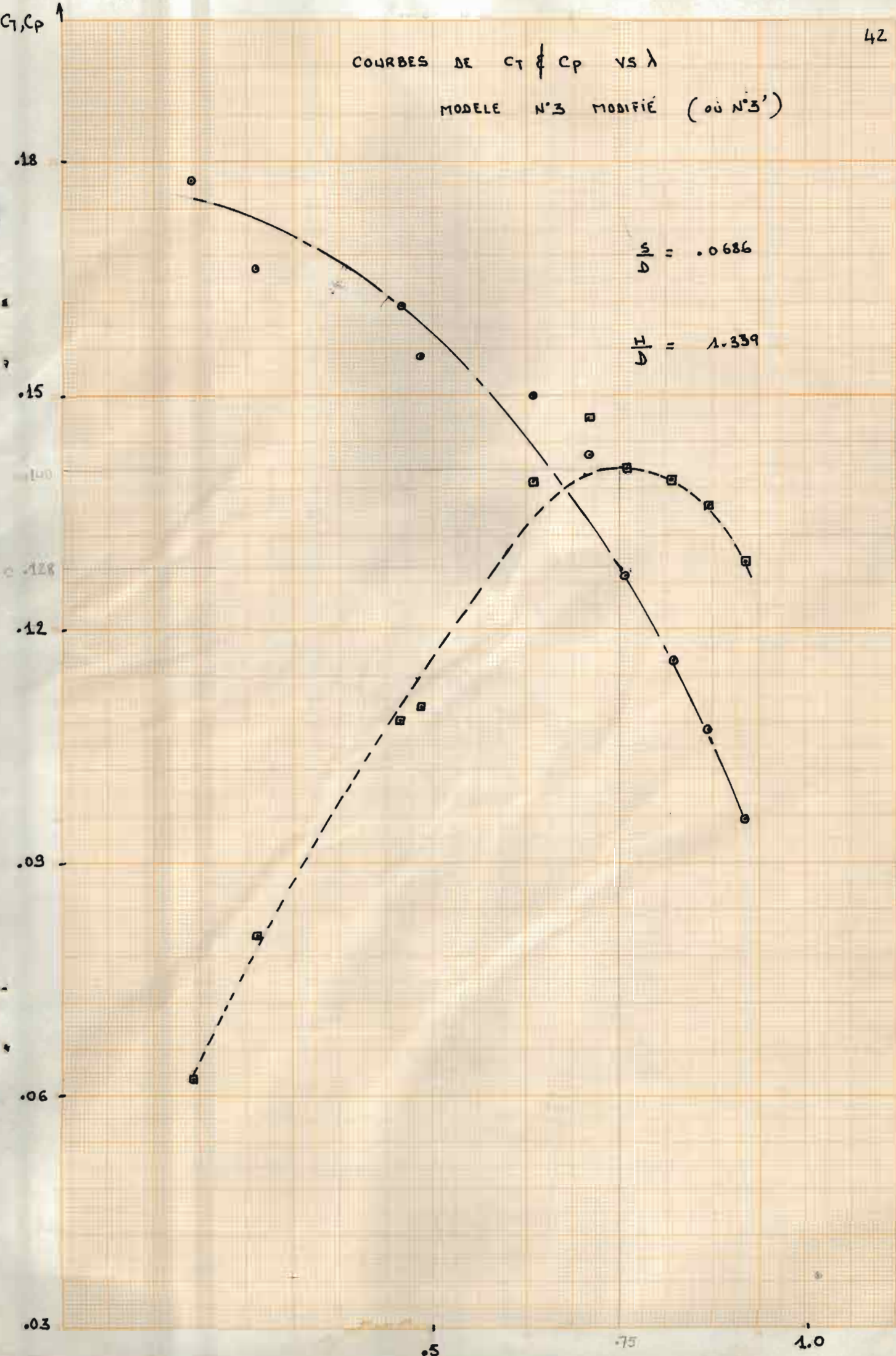
COURBES
DE C_T & C_P VS λ

MODÈLE N°3



COURBES DE C_T & C_P VS λ

MODELE N°3 MODIFIÉ (OU N°3')



C_1, C_P

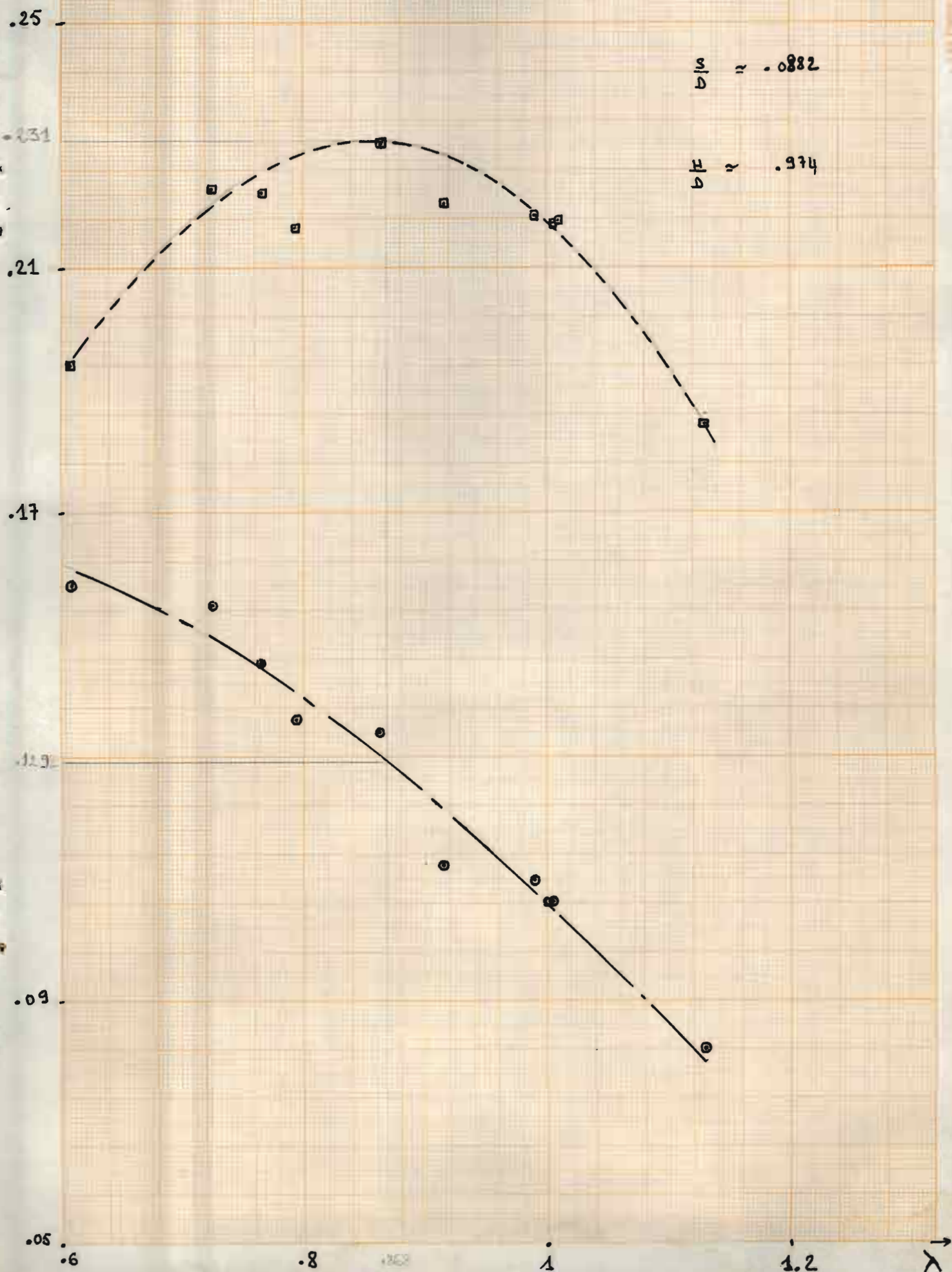
43

COURBES DE C_1 ET C_P VS λ

MODELE N°4

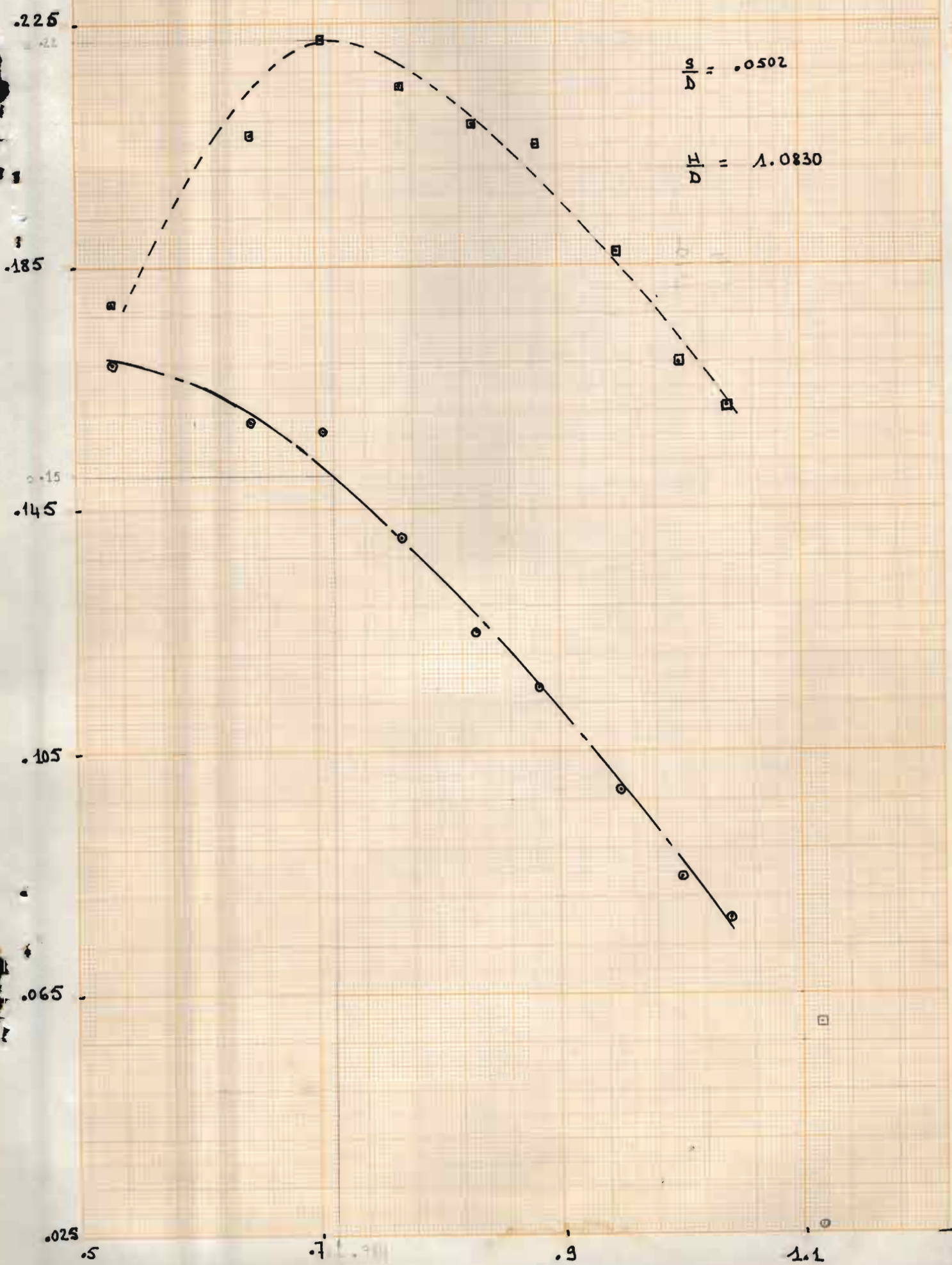
$$\frac{S}{D} \approx 0.882$$

$$\frac{H}{D} \approx 0.974$$



$C_T, C_P \uparrow$ COURBES DE C_T & C_P VS λ

MODÈLE N°5



references

bibliographiques

- [1] Par D.V NGUYEN Mesures comparatives de la performance de quelques colonnes SAVONIUS modifiées au moyen d'un creusage
- [2] Alassane SARR Projet de fin d'étude 1979. étude de la performance d'une colonne SAVONIUS dans une veine fermée avec diverses valeurs de l'écart central
- [3] Daily & Harleman Addison Wesley Fluid dynamics Chapitre 16 page 421
- [4] Association de professeur Mc Graw - Hill Hand book of fluid dynamics page 3.12, 3.15, 3.16